

## Část 5.1 Prostorový požár

P. Schaumann, T. Trautmann  
*University of Hannover*

J. Žižka  
*České vysoké učení technické v Praze*

### 1 ZADÁNÍ

Cílem je stanovit teplotu plynů plně rozvinutého požáru v kanceláři. Pro analýzu se použije prostor “fiktivní kanceláře” v Cardingtonu. Na této kanceláři proběhla požární zkouška. Průběh teploty, který byl změřen během testu je na obrázku č. 3, takže výsledek výpočtu lze porovnat s měřením.

Pro výpočet teploty plynů se použije model přirozeného požáru. Pro plně rozvinutý požár lze použít metodu prostorového požáru úseku. Zjednodušená výpočetní metoda pro určení parametrické teplotní křivky je popsána v EN 1991-1-2 - Příloha A.



Obrázek 1. Hala v Cardingtonu (vlevo) a kancelář testu “fiktivní kanceláře” (vpravo)

Plocha podlah:	$A_f = 135 \text{ m}^2$
Celková plocha stěn	$A_t = 474 \text{ m}^2$
Celková plocha svislých otvorů:	$A_v = 27 \text{ m}^2$
Součinitel svislých otvorů:	$\alpha_v = 0,2$
Součinitel vodorovných otvorů :	$\alpha_h = 0,0$
Výška:	$H = 4,0 \text{ m}$
Průměrná výška oken:	$h_{eq} = 1,8 \text{ m}$ (předpoklad)
Lehký beton:	$\rho = 1900 \text{ kg/m}^3$
	$c = 840 \text{ J/kgK}$
	$\lambda = 1,0 \text{ W/mK}$
Rychlost rozvoje požáru	střední

## 2 URČENÍ HUSTOTY POŽÁRNÍHO ZATÍŽENÍ

EN 1991-1-2

Příloha A normy EN 1991-1-2 nabízí výpočetní model pro určení hustoty požárního zatížení. Návrhová hodnota hustoty požárního zatížení může být určena buď na základě národní požární klasifikace dle obsazenosti a/nebo na základě výpočtu určení požárního zatížení pro individuální objekt.

V tomto příkladě se použije druhý přístup.

$$q_{f,d} = q_{f,k} \cdot m \cdot \delta_{q1} \cdot \delta_{q2} \cdot \delta_n$$

kde:

$m$  je součinitel hoření,

$\delta_{q1}$  součinitel nebezpečí vzniku požáru podle velikosti požárního úseku,

$\delta_{q2}$  součinitel nebezpečí vzniku požáru vlivem druhu provozu,

$\delta_n$  součinitel aktivních protipožárních opatření.

Příloha E.1

Požární zatížení se sestává z 20 % z umělé hmoty, z 11 % z papíru a z 69 % ze dřeva. Převládají tedy buněčné materiály. Velikost součinitele hoření je dána hodnotou:

$$m = 0,8$$

Součinitel  $\delta_{q1}$  zohledňuje vliv nebezpečí vzniku požáru v závislosti na velikosti požárního úseku. Hodnoty součinitele udává tabulka 1.

Tabulka 1. Součinitel nebezpečí vzniku požáru velikostí požárního úseku (viz EN 1991-1-2, Tabulka E.1)

	Podlahová plocha požárního úseku $A_f$ [m <sup>2</sup> ]				
	$\leq 25$	$\leq 250$	$\leq 2500$	$\leq 5000$	$\leq 10,000$
Nebezpečí vzniku požáru $\delta_{q1}$	1,10	1,50	1,90	2,00	2,13

$$\delta_{q1} = 1,5$$

Součinitel  $\delta_{q2}$  zohledňuje vliv nebezpečí vzniku požáru v závislosti na druhu provozu. Jeho hodnoty jsou uvedeny v tabulce 2.

Tabulka 2. Součinitel rizika nebezpečí vzniku požáru vlivem druhu provozu (viz EN 1991-1-2, Tabulka E.1)

Nebezpečí vzniku požáru $\delta_{q2}$	Příklad provozu
0,78	galerie, muzea, bazény
1,00	kanceláře, byty, hotely, papírenský průmysl
1,22	výroba strojů a motorů
1,44	chemické laboratoře, lakovny
1,66	výroba barev nebo pyrotechniky

$$\delta_{q2} = 1,0$$

Součinitel aktivních protipožárních opatření se spočte jako:

$$\delta_n = \prod_{i=1}^{10} \delta_{ni}$$

Hodnoty součinitelů  $\delta_{ni}$  jsou v tabulce 3.

Tabulka 3. Součinitele  $\delta_{ni}$  (viz EN 1991-1-2, Tabulka E.2)

Aktivní protipožární opatření			$\delta_{ni}$
Samočinné hasící zařízení	Samočinné vodní hasící zařízení	$\delta_{n1}$	0,61
	Nezávislé vodní zdroje	žádný	1,0
		jeden	0,87
	dva	0,7	
Samočinné požární hlásiče	Elektrická požární signalizace	$\delta_{n3}$	tepelná 0,87
	Zařízení dálkového přenosu k požární jednotce	$\delta_{n4}$	kouřová 0,73
		$\delta_{n5}$	0,87
Manuální hasení požáru	Závodní požární jednotka	$\delta_{n6}$	0,61
	Veřejná požární jednotka	$\delta_{n7}$	0,78
	Bezpečné přístupové cesty	$\delta_{n8}$	0,9 nebo 1,0 nebo 1,5
		$\delta_{n9}$	1,0 or 1,5
	Technické prostředky požární ochrany	$\delta_{n9}$	1,0 or 1,5
Zařízení pro odvod kouře	$\delta_{n10}$	1,0 or 1,5	

$$\delta_n = 1,0 \cdot 0,73 \cdot 0,87 \cdot 0,78 \cdot 1,0 \cdot 1,0 \cdot 1,0 = 0,50$$

Charakteristické požární zatížení je definováno jako:

$$Q_{fi,k} = \sum M_{k,i} \cdot H_{ui} \cdot \psi_i$$

kde

$M_{k,i}$  je hmotnost hořlavého materiálu [kg],

$H_{ui}$  čistá výhřevnost materiálu [MJ/kg], viz EN 1991-1-2, tabulka E.3 a

$\psi_i$  součinitel pro stanovení chráněného požárního zatížení.

Celková hmotnost požárního zatížení je rovna 46 kg dřeva/m<sup>2</sup>. Vypočte se charakteristické požární zatížení:

$$Q_{fi,k} = (135 \cdot 46) \cdot 17,5 \cdot 1,0 = 108,675 \text{ MJ}$$

Dále charakteristická hustota požárního zatížení:

$$q_{f,k} = Q_{fi,k} / A_f = 108,675 / 135 = 805 \text{ MJ/m}^2$$

A návrhová hustota požárního zatížení je:

$$\begin{aligned} q_{f,d} &= 805 \cdot 0,8 \cdot 1,5 \cdot 1,0 \cdot 0,5 \\ &= 483,0 \text{ MJ/m}^2 \end{aligned}$$

### 3 VÝPOČET PARAMETRICKÉ TEPLONÍ KŘIVKY

Musí se určit, zda plně rozvinutý požár je řízen ventilací nebo palivem. Rozhodující je součinitel otvorů a návrhová hodnota hustoty požárního zatížení vztažená k celkové ploše.

$$O = \sqrt{h_{eq}} \cdot A_v / A_t = \sqrt{1,8} \cdot 27 / 474 = 0,076 \text{ m}^{1/2} \begin{cases} \geq 0,02 \\ \leq 0,2 \end{cases}$$

a

$$q_{t,d} = q_{f,d} \cdot A_f / A_t = 483,0 \cdot 135 / 474 = 137,6 \text{ MJ/m}^2$$

Příloha E.2

Příloha A

Určí se rozhodující faktor při řízení požáru:

$$0,2 \cdot 10^{-3} \cdot q_{t,d} / O = 0,2 \cdot 10^{-3} \cdot 137,6 / 0,076 = 0,362 \text{ h} > t_{\text{lim}} = 0,333 \text{ h}$$

⇒ Požár je řízen ventilací.

Pro výpočet parametrické teplotní křivky ve fázi ohřívání a chladnutí se musí určit součinitel  $b$ . Tento součinitel zohledňuje vliv teplotní pohltivosti ohraničujících konstrukcí. Hustota, tepelná vodivost a měrná tepelná kapacita ohraničující konstrukce se uvažuje při pokojové teplotě. Strop, podlaha i stěny jsou z lehkého betonu:

$$b = \sqrt{\rho \cdot c \cdot \lambda} = \sqrt{1900 \cdot 840 \cdot 1,0} = 1263,3 \frac{\text{J}}{\text{m}^2 \text{s}^{1/2} \text{K}} \begin{cases} \geq 100 \\ \leq 2200 \end{cases}$$

Teplotní křivka ve fázi zahřívání je dána vztahem:

$$\theta_g = 20 + 1325 \cdot \left( 1 - 0,324 \cdot e^{-0,2 \cdot t^*} - 0,204 \cdot e^{-1,7 \cdot t^*} - 0,472 \cdot e^{-19 \cdot t^*} \right)$$

Jelikož je požár řízen ventilací, vypočte se čas  $t^*$  jako:

$$t^* = t \cdot \Gamma$$

kde:

$$\Gamma = \frac{(O/b)^2}{(0,04/1160)^2} = \frac{(0,076/1263,3)^2}{(0,04/1160)^2} = 3,04$$

Nyní jsou známy všechny potřebné parametry pro výpočet křivky ve fázi ohřívání:

$$\theta_g = 20 + 1325 \cdot \left( 1 - 0,324 \cdot e^{-0,2 \cdot (3,04 \cdot t)} - 0,204 \cdot e^{-1,7 \cdot (3,04 \cdot t)} - 0,472 \cdot e^{-19 \cdot (3,04 \cdot t)} \right)$$

Dosažené maximální teplota ve fázi ohřívání je:

$$\theta_{\text{max}} = 20 + 1325 \cdot \left( 1 - 0,324 \cdot e^{-0,2 \cdot t^*_{\text{max}}} - 0,204 \cdot e^{-1,7 \cdot t^*_{\text{max}}} - 0,472 \cdot e^{-19 \cdot t^*_{\text{max}}} \right)$$

kde

$$t^*_{\text{max}} = t_{\text{max}} \cdot \Gamma$$

a čas  $t_{\text{max}}$  spočteme dle

$$t_{\text{max}} = \max \begin{cases} 0,2 \cdot 10^{-3} \cdot q_{t,d} / O = 0,2 \cdot 10^{-3} \cdot 137,6 / 0,076 = 0,363 \text{ h} \\ t_{\text{lim}} = 0,333 \text{ h} \end{cases}$$

kde  $t_{\text{lim}}$  je dáno v tabulce č.4

Tabulka 4. Čas  $t_{\text{lim}}$  pro různé rychlosti rozvoje požárů

	Malá rychlost rozvoje	Střední rychlost rozvoje	Velká rychlost rozvoje
$t_{\text{lim}}$ [h]	0,417	0,333	0,250

Hodnota  $t^*_{\text{max}}$  je tedy:

$$t^*_{\text{max}} = 0,363 \cdot 3,04 = 1,10 \text{ h}$$

Maximální teplota:

$$\theta_{\max} = 20 + 1325 \cdot \left(1 - 0,324 \cdot e^{-0,2 \cdot 1,10} - 0,204 \cdot e^{-1,7 \cdot 1,10} - 0,427 \cdot e^{-19 \cdot 1,10}\right)$$

$$= 958,8 \text{ } ^\circ\text{C}$$

Pro fázi chladnutí se  $t^*$  a  $t^*_{\max}$  vypočítá jako:

$$t^* = t \cdot \Gamma = t \cdot 3,04 \quad [\text{h}]$$

$$t^*_{\max} = \left(0,2 \cdot 10^{-3} \cdot q_{t,d} / O\right) \cdot \Gamma = 1,10 \text{ h}$$

Teplotní křivka pro fázi chladnutí pro  $0,5 \leq t^*_{\max} \leq 2,0$  se určí ze vztahu:

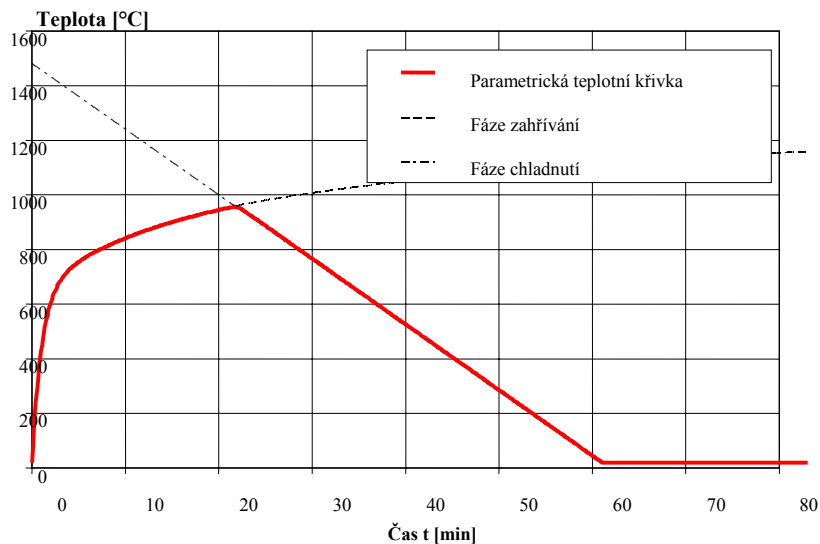
$$\theta_g = \theta_{\max} - 250 \cdot (3 - t^*_{\max}) \cdot (t^* - t^*_{\max} \cdot x)$$

$$= 958,8 - 250 \cdot (3 - 1,10) \cdot (t \cdot 3,04 - 1,10 \cdot 1,0)$$

kde:

$$t_{\max} > t_{\text{lim}} \quad x = 1,0$$

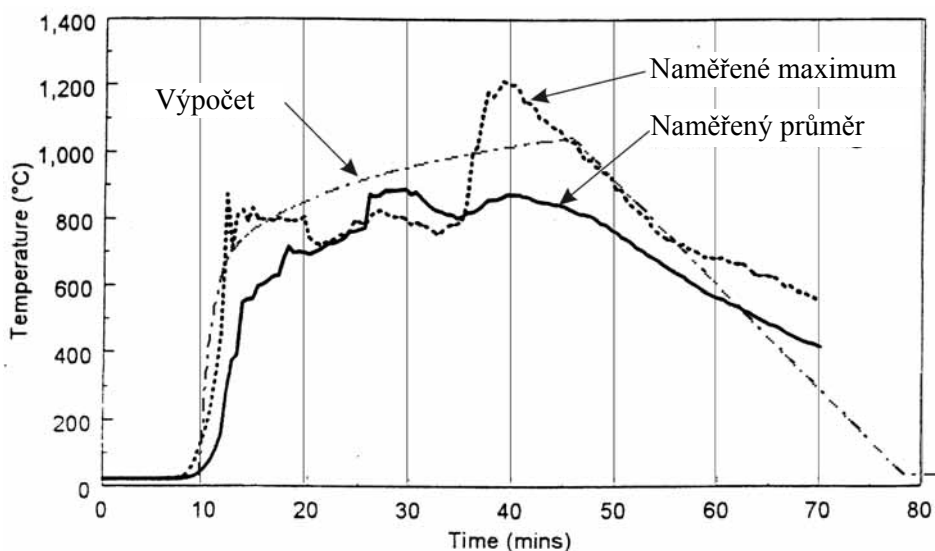
Kombinací části teplotní křivky pro zahřívání a chladnutí se získá parametrická teplotní křivka, která je na obrázku 2.



Obrázek 2. Teplota plynů v kanceláři spočtená při použití parametrické teplotní křivky

## POROVNÁNÍ VÝPOČTU A POŽÁRNÍ ZKOUŠKY

Pro porovnání výsledku výpočtu s naměřenými hodnotami během testu, se musí součinitele  $\delta_1$ ,  $\delta_2$  a  $\delta_{ni}$  pro výpočet hustoty požárního zatížení uvažovat hodnotou 1,0 (viz obrázek 3).



Obrázek 3. Porovnání výpočtu a experimentu

kde Time je čas v min  
Temperature teplota ve °C

## LITERATURA

EN 1991, *Eurocode 1: Actions on structures – Part 1-2: General actions – Actions on structures exposed to fire*, Brussels: CEN, November 2002

*The Behaviour of multi-storey steel framed buildings in fire*, Moorgate: British Steel plc, Swinden Technology Centre, 1998

*Valorisation Project: Natural Fire Safety Concept*, Sponsored by ECSC, June 2001